

МАГНИТОПРОБОЙНЫЕ ОСЦИЛЛЯЦИИ ТЕРМОЭЛЕКТРИЧЕСКОГО ПОЛЯ В СЛОИСТЫХ ПРОВОДНИКАХ

В. Г. Песчанский^{a,b}, О. Галбова^{c**}, Р. Хасан^{a,d**}*

^a *Харьковский национальный университет им. В. Н. Каразина
61022, Харьков, Украина*

^b *Физико-технический институт низких температур им. Б. И. Веркина
Национальной академии наук Украины
61103, Харьков, Украина*

^c *St. Cyril and Methodium University,
P. O. Box 162, 1000, Skopje, Republic of Macedonia*

^d *Physics Department, Birzeit University,
PO Box 14, Birzeit, West Bank, Palestine*

Поступила в редакцию 19 мая 2016 г.

Теоретически исследован отклик электронной системы на неоднородный разогрев слоистых проводников с квазидвумерным электронным энергетическим спектром произвольного вида, помещенных в сильное магнитное поле \mathbf{B} , когда циклотронная частота ω_c много больше частоты столкновений носителей заряда $1/\tau$. В случае многолистной поверхности Ферми (ПФ) рассчитана зависимость термоэлектрических коэффициентов от величины и ориентации магнитного поля вблизи электронного топологического перехода Лифшица, когда под действием внешнего воздействия на проводник, например, давления, происходит изменение связности ПФ. При сближении отдельных полостей (листов) ПФ электроны проводимости в результате магнитного пробоя могут тунелировать с одного листа ПФ на другой, их движение по магнитопробойным траекториям становится сложным и запутанным. При этом термоэлектрическое поле необычным образом зависит от величины магнитного поля, а при значительном отклонении вектора \mathbf{B} от нормали к слоям на угол ϑ осциллирует как функция $\text{tg } \vartheta$. Период этих осцилляций содержит важную информацию о расстоянии между отдельными полостями ПФ и их гофрировке.

DOI: 10.7868/S0044451016120166

Энергетический спектр элементарных возбуждений в кристаллах содержит ряд критических значений энергии ε_k , при которых происходит изменение топологической структуры (связности) изоэнергетических поверхностей $\varepsilon(\mathbf{p}) = \text{const}$ [1]. При низких температурах T термодинамические и кинетические характеристики системы электронов проводимости в вырожденных проводниках зависят в основном от структуры поверхности Ферми (ПФ) $\varepsilon(p) = \varepsilon_F$ с точностью до малых поправок пропорциональных $(T/\varepsilon_F)^2$. Хотя критические уровни энергии ε_k , как правило, значительно отделены от уровня Ферми

ε_F , электронный топологический переход в вырожденных проводниках все же вполне наблюдаем, если будет возможность изменять непрерывным образом химический потенциал μ электронов проводимости, постепенно приближая его к ε_k , например, с помощью достаточно большого давления либо допирования проводника примесными атомами. Этот топологический переход, предсказанный Лифшицем [2], вскоре был обнаружен и детально экспериментально обследован во многих металлах и сплавах в нормальном и сверхпроводящем состояниях [3–21]. Подробная информация об этих исследованиях содержится в Приложении к трудам И. М. Лифшица, написанном Заварицким [22]. В последние 30 лет интерес к экспериментальным исследованиям электронного топологического перехода сместился в область МДП, наноструктур и других низкоразмер-

* E-mail: vpeschansky@ilt.kharkov.ua

** O. Galbova, R. Hasan

ных проводящих ток систем. При этом интерес к таким исследованиям не ослабевает и по сей день. Оказалось, что наиболее просто и надежно можно обнаружить электронный топологический переход Лифшица с помощью исследования термоэлектрических явлений. Мы рассмотрим линейный отклик электронной системы слоистого проводника на возмущение электрическим полем \mathbf{E} и градиентом температуры $\partial T/\partial \mathbf{r}$ вблизи электронного топологического перехода, когда при сближении отдельных полостей ПФ электроны проводимости могут блуждать по различным полостям ПФ. Будем полагать, как и в [23], квазидвумерный электронный энергетический спектр слоистого проводника

$$\varepsilon(\mathbf{p}) = \sum_{n=0}^{\infty} \varepsilon_n(p_x, p_y) \cos\left(\frac{anp_z}{\hbar} + \alpha_n(p_x, p_y)\right), \quad (1)$$

$$\begin{aligned} \varepsilon_n(-p_x, -p_y) &= \varepsilon_n(p_x, p_y), \\ \alpha_n(-p_x, -p_y) &= -\alpha_n(p_x, p_y) \end{aligned} \quad (2)$$

произвольным, а его ПФ состоящей из топологически различных элементов в виде цилиндров и планарных листов, слабофрированных вдоль проекции импульса $p_z = \mathbf{n} \cdot \mathbf{p}$ на нормаль \mathbf{n} к слоям. Для определенности ось p_x направим ортогонально квазиплоским листам ПФ.

Здесь a — расстояние между слоями, \hbar — постоянная Планка, а $\varepsilon_n(p_x, p_y)$ и $\alpha_n(p_x, p_y)$ — произвольные функции своих аргументов, причем все функции $\varepsilon_n(p_x, p_y)$ с $n \neq 0$ много меньше $\varepsilon_0(p_x, p_y)$, так что скорость движения электронов вдоль нормали к слоям

$$\begin{aligned} v_z &= - \sum_{n=1}^{\infty} \frac{an}{\hbar} \varepsilon_n(p_x, p_y) \times \\ &\times \sin\left\{\frac{anp_z}{\hbar} + \alpha_n(p_x, p_y)\right\} \leq \eta v_F \end{aligned} \quad (3)$$

значительно меньше характерной фермиевской скорости v_F его движения вдоль слоев. В низкоразмерных комплексах органического происхождения параметр квазидвумерности электронного энергетического спектра η порядка 10^{-2} , что способствует наиболее яркому проявлению осцилляционных явлений в низкоразмерных проводниках.

Плотность электрического тока

$$j_i = \sigma_{ij} E_j - \alpha_{ij} \partial T / \partial x_j \quad (4)$$

и потока тепла

$$q_i = \beta_{ij} E_j - \chi_{ij} \partial T / \partial x_j \quad (5)$$

найдем с помощью решения кинетического уравнения для функции распределения носителей заряда

$$\begin{aligned} f(\mathbf{p}, \mathbf{r}) &= f_0(\varepsilon) - \left(\phi - \frac{\varepsilon - \mu}{T} \psi\right) \frac{\partial f_0(\varepsilon)}{\partial \varepsilon} \times \\ &\times \left\{ e\mathbf{E} \cdot \mathbf{v} - \frac{\varepsilon - \mu}{T} \mathbf{v} \frac{\partial T}{\partial \mathbf{r}} - \left(\frac{\partial \phi}{\partial t} - \frac{\varepsilon - \mu}{T} \frac{\partial \psi}{\partial t}\right) \frac{\partial f_0(\varepsilon)}{\partial \varepsilon} \right\} = \\ &= \hat{W} \{f(\mathbf{p}, \mathbf{r}) - f_0(\varepsilon)\}. \end{aligned} \quad (6)$$

Здесь

$$f_0(\varepsilon) = \left(1 + \exp \frac{\varepsilon - \mu}{T}\right)^{-1}$$

— равновесная фермиевская функция распределения электронов проводимости, а T — температура в энергетических единицах. В качестве переменных в импульсном пространстве использованы интегралы движения заряда в магнитном поле \mathbf{V} и время t его движения по траектории $\varepsilon = \text{const}$ и $p_B = \mathbf{p} \cdot \mathbf{V} / B = \text{const}$. В левой части кинетического уравнения (6) опущены слагаемые, квадратичные по слабому возмущению системы электронов. В этом же приближении интеграл столкновений \hat{W} представляет собой сумму двух линейных операторов, действующих на искомые функции ϕ и ψ .

Решение уравнения (6) следует найти в пространстве собственных функций интегрального оператора \hat{W} . Время релаксации в системе носителей заряда равно обратной величине наименьшего собственного значения оператора столкновений, причем времена релаксации по направлению импульсов τ и по энергиям τ_ε существенно различны. Они примерно одинаковы лишь при весьма низких температурах, когда носители заряда рассеиваются в основном примесными атомами и другими дефектами кристаллической решетки. Однако с ростом температуры включается дополнительный механизм рассеяния электронов на тепловых колебаниях ионов кристалла, что приводит к различной зависимости времен релаксации τ_ε и τ от температуры в области температур, меньших температуры Дебая T_D . Если не интересоваться численными множителями порядка единицы, то вполне уместно воспользоваться τ -приближением для интеграла столкновений. Таким образом, кинетическое уравнение (6) представляет собой систему двух обычных дифференциальных уравнений первого порядка,

$$\frac{\partial \phi}{\partial t} + \frac{\phi}{\tau} = e\mathbf{E}\mathbf{v}, \quad (7)$$

$$\frac{\partial \psi}{\partial t} + \frac{\psi}{\tau_\varepsilon} = \mathbf{v} \frac{\partial T}{\partial \mathbf{r}}. \quad (8)$$

С помощью решения уравнений (7) и (8)

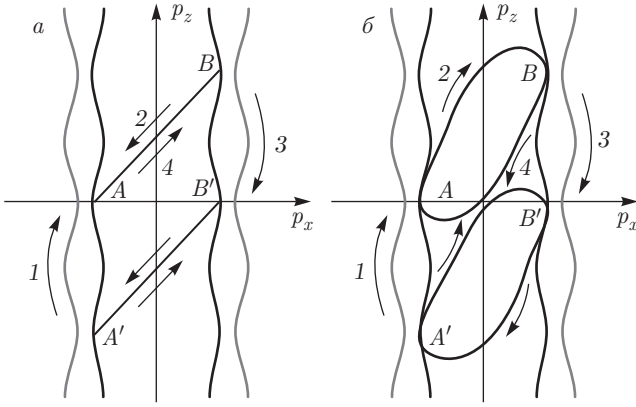


Рис. 1. Проекция на плоскость $p_x p_z$ электронных траекторий в магнитном поле в плоскости $p_x p_z$ (а) и отклоненном от этой плоскости (б)

$$\phi(t) = \int_{\lambda_1}^t dt' e \mathbf{E} \mathbf{v}(t') \exp \frac{t' - t}{\tau} + \exp \frac{\lambda_1 - t}{\tau} \phi(\lambda_1 + 0), \quad (9)$$

$$\psi(t) = \int_{\lambda_1}^t dt' \mathbf{v}(t') \left(\frac{\partial T}{\partial \mathbf{r}} \right) \exp \frac{t' - t}{\tau_\varepsilon} + \exp \frac{\lambda_1 - t}{\tau_\varepsilon} \psi(\lambda_1 + 0) \quad (10)$$

найдем плотность электрического тока

$$j_i = - \int \frac{2eB}{(2\pi\hbar)^3 c} d\varepsilon \frac{\partial f_0(\varepsilon)}{\partial \varepsilon} \int dp_B \times \int_0^{T_B} dt e v_i(t) \left[\phi(t) - \frac{\varepsilon - \mu}{T} \psi(t) \right] \quad (11)$$

и потока тепла

$$q_i = - \int \frac{2eB}{(2\pi\hbar)^3 c} d\varepsilon \frac{\partial f_0(\varepsilon)}{\partial \varepsilon} \int dp_B \times \int_0^{T_B} dt (\varepsilon - \mu) v_i(t) \left[\phi(t) - \frac{\varepsilon - \mu}{T} \psi(t) \right]. \quad (12)$$

Здесь e , \mathbf{v} и T_B — соответственно заряд, скорость и период движения электронов проводимости по траектории $\varepsilon(\mathbf{p}) = \text{const}$, $p_B = \text{const}$, c — скорость света, \hbar — постоянная Планка.

Функции $\phi(\lambda_1 + 0)$ и $\psi(\lambda_1 + 0)$ описывают сложное движение носителей заряда по магнитопробойным траекториям с вероятностью магнитного пробоя w в области A и с вероятностью w' в области B

сближения отдельных полостей ПФ в моменты времени $\lambda_1, \lambda_2, \lambda_3, \lambda_4$, где λ_1 — ближайший к t момент перехода электрона с одного листа ПФ на другой с сохранением интеграла движения p_B , а $\lambda_k > \lambda_{k+1}$ (см. рис. 1). Например, неравновесная часть функции распределения электронов на листе 1 ПФ после магнитного пробоя в окрестности точки A

$$\phi_1(\lambda_1 + 0) = \int_{-\infty}^{\lambda_1} dt \exp \frac{t - \lambda_1}{\tau} (e \mathbf{E} \mathbf{v}(t))_1 \quad (13)$$

связана с функцией распределения электронов на этом же канале до магнитного пробоя $\phi_1(\lambda_1 - 0)$ следующим соотношением:

$$\phi_1(\lambda_1 + 0) = (1 - w)\phi_1(\lambda_1 - 0) + w\phi_2(\lambda_1 - 0). \quad (14)$$

Функция $\phi_i(\lambda_j - 0)$ перед магнитным пробоем в момент времени λ_j связана с функцией $\phi_i(\lambda_{j+1} + 0)$ после совершения магнитного пробоя в более ранний момент времени λ_{j+1} простым соотношением

$$\phi_i(\lambda_j - 0) = A_i + \exp \left(\frac{\lambda_{j+1} - \lambda_j}{\tau} \right) \phi_i(\lambda_{j+1} + 0), \quad (15)$$

где

$$A_i = \int_{\lambda_{j+1}}^{\lambda_{j+1}} dt \exp \frac{t - \lambda_j}{\tau} (e \mathbf{E} \mathbf{v}(t))_i, \quad (16)$$

$i = 1, 2, 3, 4$

— энергия, приобретенная электроном проводимости в электрическом поле при движении его по i -му листу ПФ за время $(\lambda_j - \lambda_{j+1})$ между двумя актами магнитного пробоя, равное T_1 для электронов на планарных листах ПФ 1 и 3 и T' на дугах 2 и 4 замкнутого сечения гофрированного цилиндра. С точностью до малых поправок, пропорциональных параметру η , время T_1 квазипериодического движения носителей заряда в магнитном поле на листах 1 и 3 ПФ не зависит от λ_j . В этом же приближении по малому параметру квазидвумерности электронного энергетического спектра η функции A_i одинаковы для любых значений λ_j .

С учетом соотношений (14) и (15) связь функции $\phi_1(\lambda_1 + 0)$ с функциями ϕ_1 и ϕ_2 в более ранний момент времени λ_2 принимает вид

$$\phi_1(\lambda_1 + 0) = Q_1 + h_1 \phi_1(\lambda_2 + 0) + g \phi_2(\lambda_2 + 0). \quad (17)$$

Аналогично в более ранние моменты времени $\lambda_2, \lambda_3, \lambda_4, \lambda_5$, имеем

$$\phi_2(\lambda_2 + 0) = Q_4 + h' \phi_4(\lambda_3 + 0) + g'_1 \phi_3(\lambda_3 + 0), \quad (18)$$

$$\phi_3(\lambda_3 + 0) = Q_3 + h'_1 \phi_3(\lambda_4 + 0) + g' \phi_4(\lambda_4 + 0), \quad (19)$$

$$\phi_4(\lambda_4 + 0) = Q_2 + h \phi_2(\lambda_5 + 0) + g'_1 \phi_1(\lambda_5 + 0), \quad (20)$$

$$\phi_1(\lambda_5 + 0) = Q_1 + h_1 \phi_1(\lambda_6 + 0) + g \phi_2(\lambda_6 + 0). \quad (21)$$

Здесь

$$\begin{aligned} Q_1 &= (1-w)A_1 + wA_2, & Q_2 &= (1-w)A_2 + wA_1, \\ Q_3 &= (1-w')A_3 + w'A_4, & (22) \\ Q_4 &= (1-w')A_4 + w'A_3, \end{aligned}$$

$$h_1 = (1-w) \exp\left(-\frac{T_1}{\tau}\right),$$

$$h'_1 = (1-w') \exp\left(-\frac{T'_1}{\tau}\right),$$

$$g_1 = w \exp\left(-\frac{T_1}{\tau}\right), \quad g'_1 = w' \exp\left(-\frac{T'_1}{\tau}\right), \quad (23)$$

$$h = (1-w) \exp\left(-\frac{T}{\tau}\right),$$

$$h' = (1-w') \exp\left(-\frac{T'}{\tau}\right),$$

$$g = w \exp\left(-\frac{T}{\tau}\right), \quad g' = w' \exp\left(-\frac{T'}{\tau}\right).$$

Легко заметить, что соотношение (21) отличается от соотношения (17) лишь более ранним моментом магнитного пробоя. Продолжая эти рекуррентные соотношения, мы удаляемся в далекое прошлое, поскольку искомые функции в правой части уравнений при каждой рекуррентии приобретают множители, меньшие единицы, и при многократной рекуррентии становятся сколь угодно малыми. В результате функции ϕ_i в левой части уравнений (17)–(20) равны бесконечному ряду слагаемых, пропорциональных A_j , представляющих собой геометрическую прогрессию, которая легко суммируется.

Воспользовавшись рекуррентными соотношениями для уравнений (17) и (19), получим

$$\phi_1(\lambda_1 + 0) = \frac{Q_1}{1-h_1} + \sum_{n=0}^{\infty} h_1^n g \phi_2(\lambda_{n+2} + 0), \quad (24)$$

$$\phi_3(\lambda_j + 0) = \frac{Q_3}{1-h'_1} + \sum_{n=0}^{\infty} (h'_1)^n g' \phi_4(\lambda_{n+j+1} + 0). \quad (25)$$

С помощью соотношения (20) для функции ϕ_4 найдем связь функции $\phi_3(\lambda_j + 0)$ с функциями ϕ_2 в различные моменты λ_n :

$$\begin{aligned} \phi_3(\lambda_j + 0) &= \frac{Q_3}{1-h'_1} + \frac{g_1 g'_1 Q_1}{(1-h_1)(1-h'_1)} + \frac{g' Q_2}{1-h'_1} + \\ &+ \sum_{n=0}^{\infty} (h'_1)^n g' h \phi_2(\lambda_{n+j+2} + 0) + \\ &+ \sum_{n,k=0}^{\infty} (h'_1)^n h_1^k g_1 g' g' h \phi_2(\lambda_{n+k+j+4} + 0). \quad (26) \end{aligned}$$

Воспользовавшись соотношениями (24)–(26), получим функциональное уравнение для функции $\phi_2(\lambda_2 + 0)$:

$$\begin{aligned} \phi_2(\lambda_2 + 0) &= h h' \phi_2(\lambda_4 + 0) + Q_4 + h' Q_2 + \\ &+ g'_1 \left[\frac{Q_3}{1-h'_1} + \frac{g_1 g'_1 Q_1}{(1-h_1)(1-h'_1)} + \frac{g' Q_2}{1-h'_1} \right] + \\ &+ h' g_1 \frac{Q_1}{1-h_1} + \sum_{n=0}^{\infty} (h'_1)^n g' g'_1 h \phi_2(\lambda_{n+j+2} + 0) + \\ &+ h' g_1 \sum_{n=0}^{\infty} h_1^n g \phi_2(\lambda_{n+2} + 0) + \\ &+ \sum_{n,k=0}^{\infty} (h'_1)^n h_1^k g_1 g' g' h \phi_2(\lambda_{n+k+j+4} + 0). \quad (27) \end{aligned}$$

Применив рекуррентное преобразование к уравнению (27), приобретаем дополнительное суммирование по степеням параметра hh' . В результате функциональное уравнение для функции $\phi_2(\lambda_j + 0)$ принимает окончательный вид для любого начального момента магнитного пробоя λ_j

$$\begin{aligned} \phi_2(\lambda_j + 0) &= \frac{[Q_1 g_1 + Q_2 (1-h_1)](h'(1-h'_1) + g' g'_1)}{(1-hh')(1-h_1)(1-h'_1)} + \\ &+ \frac{[Q_3 g'_1 + Q_4 (1-h'_1)](1-h_1)}{(1-hh')(1-h_1)(1-h'_1)} + \hat{L} \phi_2(\lambda_j), \quad (28) \end{aligned}$$

где

$$\begin{aligned} \hat{L} \phi_2(\lambda_1 + 0) &= \\ &= \sum_{n,k,m=0}^{\infty} (hh')^m (h'_1)^n h_1^k g_1 g' g'_1 h \phi_2(\lambda_{n+k+m+10} + 0) + \\ &+ \sum_{n,m=0}^{\infty} (hh')^m (h'_1)^n g' g'_1 h \phi_2(\lambda_{n+m+7} + 0) + \\ &+ \sum_{n,m=0}^{\infty} (hh')^m h_1^n h' g_1 g \phi_2(\lambda_{n+m+7} + 0). \quad (29) \end{aligned}$$

Решение этого уравнения представляет собой геометрическую прогрессию со знаменателем q , равным собственному значению линейного оператора $\hat{L} \phi_0 = q \phi_0$,

$$q = \frac{g g' g_1 g'_1 + g'_1 g' h (1-h_1) + g g_1 h' (1-h'_1)}{(1-hh')(1-h_1)(1-h'_1)}. \quad (30)$$

После суммирования прогрессии с учетом соотношений (22) и (23) получим для $\phi_2(\lambda_j + 0)$

$$\begin{aligned} \phi_2(\lambda_j + 0) &= \\ &= \frac{[A_1 w(1+\gamma_1) + A_2(w(1-\gamma_1) + \gamma_1)](w'(1-\gamma_1) + \gamma_1)}{2ww'(\gamma + \gamma_1) + (w + w')\gamma_1(\gamma_1 + 2\gamma) + 2\gamma\gamma_1^2} + \\ &+ \frac{[A_3 w'(1+\gamma_1) + A_4(w'(1-\gamma_1) + \gamma_1)](w + \gamma_1)(1 + \gamma)}{2ww'(\gamma + \gamma_1) + (w + w')\gamma_1(\gamma_1 + 2\gamma) + 2\gamma\gamma_1^2}, \end{aligned} \quad (31)$$

где $\gamma = \exp(T'/\tau) - 1$, $\gamma_1 = \exp(T_1/\tau) - 1$.

Воспользовавшись соотношениями (20)–(24), получим

$$\begin{aligned} \phi_1(\lambda_j + 0) &= \frac{1 + \gamma_1}{w + \gamma_1} \{(1 - w)A_1 + wA_2\} + \\ &+ \frac{w}{w + \gamma_1} \phi_2(\lambda_j + 0), \end{aligned} \quad (32)$$

$$\begin{aligned} \phi_3(\lambda_j + 0) &= \frac{1 + \gamma_1}{w' + \gamma_1} \{(1 - w')A_3 + w'A_4\} + \\ &+ \frac{w'}{w' + \gamma_1} \phi_4(\lambda_j + 0), \end{aligned} \quad (33)$$

$$\begin{aligned} \phi_4(\lambda_j + 0) &= \phi_2(\lambda_j + 0) + A_1 + A_2 - \frac{\gamma_1 w}{w + \gamma_1} \phi_2(\lambda_j + 0) - \\ &- \frac{\gamma_1}{w + \gamma_1} \{(1 - w)A_1 + wA_2\}. \end{aligned} \quad (34)$$

Легко заметить, что функция $\phi_2(\lambda_j + 0)$ при достаточно малых γ и γ_1 обратно пропорциональна $(\gamma + \gamma_1)$ и все слагаемые в формуле (34), кроме первого, являются малыми поправками к нему при $(\gamma + \gamma_1) \ll 1$.

С помощью соотношений (9)–(12), (31)–(34) для произвольной ориентации магнитного поля $\mathbf{B} = (B \cos \varphi \sin \vartheta, B \sin \varphi \sin \vartheta, B \cos \vartheta)$ можно определить все кинетические коэффициенты проводника, в частности, тензор электропроводности имеет вид

$$\begin{aligned} \sigma_{ij}(\mu) &= \frac{2e^3 B}{c(2\pi\hbar)^3} \int dp_B \sum_{k=1}^4 \int_0^{T_k} dt v_{ik}(t) \times \\ &\times \left\{ \int_{\lambda_1}^t dt' \exp \frac{t' - t}{\tau} v_{jk}(t', p_B) + \right. \\ &\left. + \exp \frac{\lambda_1 - t}{\tau} u_{jk}(\lambda_1, p_B) \right\}, \end{aligned} \quad (35)$$

где $e\mathbf{E} \cdot \mathbf{u}_k(\lambda_1, p_B) = \phi_k(\lambda_1 + 0, p_B)$, а k — индекс суммирования по всем участкам магнитопробойной

траектории носителей заряда $k = 1, 2, 3, 4$, а $T_3 = T_1$ и $T_2 = T_4 = T'$.

С точностью до малых поправок, пропорциональных $(T/\mu)^2$, получим для термоэлектрических коэффициентов

$$\beta_{ij} = \frac{\pi^2}{3e} T^2 \frac{d\sigma'_{ij}(\mu)}{d\mu}, \quad (36)$$

$$\alpha_{ij} = \frac{\pi^2}{3e} T \frac{d\sigma'_{ij}(\mu)}{d\mu}, \quad (37)$$

где тензор $\sigma'_{ij}(\mu)$ совпадает с тензором $\sigma_{ij}(\mu)$, если в нем время релаксации электронов по направлениям импульса τ заменить временем релаксации электронов по энергиям τ_ε .

Аналогично для компонент тензора теплопроводности

$$\begin{aligned} \chi_{ij} &= - \int \sigma'_{ij}(\varepsilon) \frac{(\varepsilon - \mu)^2}{e^2 T} \frac{\partial f_0(\varepsilon)}{\partial \varepsilon} d\varepsilon = \\ &= \frac{\pi^2}{3e^2} T \sigma'_{ij}(\mu). \end{aligned} \quad (38)$$

Несомненный интерес представляет случай достаточно большой длины свободного пробега электронов проводимости или весьма сильного магнитного поля, когда примерно одного порядка величины γ и γ_1 настолько малы, что достаточно ограничиться лишь асимптотическим приближением для кинетических коэффициентов при $w \gg \gamma$ и $w' \gg \gamma_1$. В этом приближении функции $\phi_i(\lambda_j + 0)$ принимают следующий вид:

$$\phi_2(\lambda_j + 0) = \phi_4(\lambda_j + 0) = \frac{A_1 + A_2 + A_3 + A_4}{2(\gamma + \gamma_1)}, \quad (39)$$

$$\phi_1(\lambda_1 + 0) = \frac{(1 - w)A_1}{w} + \frac{A_1 + A_2 + A_3 + A_4}{2(\gamma + \gamma_1)}, \quad (40)$$

$$\phi_3(\lambda_1 + 0) = \frac{(1 - w')A_3}{w'} + \frac{A_1 + A_2 + A_3 + A_4}{2(\gamma + \gamma_1)}. \quad (41)$$

При этом первые слагаемые в правой части асимптотических формул (40) и (41) много меньше последних слагаемых, и с одинаковой вероятностью электрон проводимости «посещает» все каналы магнитопробойной траектории, т. е. при каждой возможности магнитного пробоя электрон будто бы непременно переходит на другой лист ПФ (см. рис. 2) и совершает периодическое движение с периодом равным $2(T_1 + T')$.

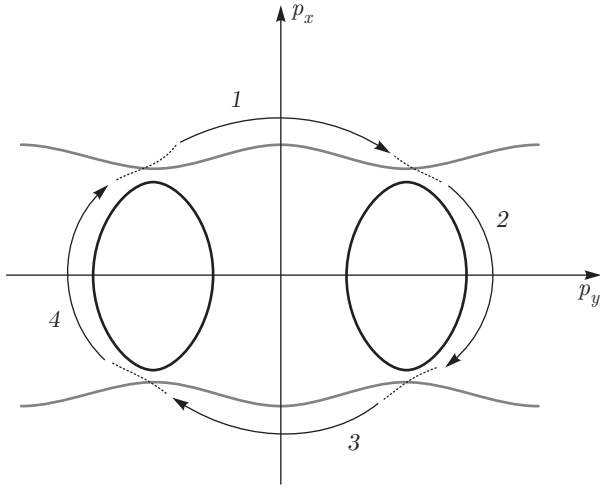


Рис. 2. Проекция на плоскость $p_x p_y$ электронных траекторий в магнитном поле

Асимптотические выражения для $\sigma_{ij}(\varepsilon)$ и $\sigma'_{ij}(\varepsilon)$ при этом принимают следующий вид:

$$\sigma_{ij}(\varepsilon) = \frac{2e^3 B}{c(2\pi\hbar)^3} \int \frac{\tau dp_B}{2(T' + T_1)} \times \left\{ T_1 \overline{(v_{i1} + v_{i3})} + T' \overline{(v_{i2} + v_{i4})} \right\} \times \left\{ T_1 \overline{(v_{j1} + v_{j3})} + T' \overline{(v_{j2} + v_{j4})} \right\}, \quad (42)$$

$$\sigma'_{ij}(\varepsilon) = \frac{2e^3 B}{c(2\pi\hbar)^3} \int \frac{\tau_\varepsilon dp_B}{2(T' + T_1)} \times \left\{ T_1 \overline{(v_{i1} + v_{i3})} + T' \overline{(v_{i2} + v_{i4})} \right\} \times \left\{ T_1 \overline{(v_{j1} + v_{j3})} + T' \overline{(v_{j2} + v_{j4})} \right\} \quad (43)$$

и с их помощью нетрудно вычислить термоэлектрическое поле, порожденное градиентом температуры в отсутствие токоподводящих контактов:

$$E_i = \frac{\pi^2 T}{3e} \rho_{ik} \frac{\partial \sigma'_{kj}(\mu)}{\partial \mu} \frac{\partial T}{\partial x_j}. \quad (44)$$

Основной вклад в термоэлектрическое поле вдоль нормали к слоям

$$E_z = \frac{\pi^2 T}{3e} \rho_{zz} \frac{d\sigma'_{zz}(\mu)}{d\mu} \frac{\partial T}{\partial x_j} + \frac{\pi^2 T}{3e} \left\{ \rho_{zx} \frac{d\sigma'_{xz}(\mu)}{d\mu} + \rho_{zy} \frac{d\sigma'_{yz}(\mu)}{d\mu} \right\} \frac{\partial T}{\partial x_j} \quad (45)$$

вносит первое слагаемое, поскольку компонента тензора сопротивления ρ_{zz} , равная $1/\sigma_{zz}$, в основном приближении по параметру η значительно превышает все остальные компоненты тензора ρ_{ij} .

Компоненты тензора электропроводности σ'_{zx} и σ'_{zy} легко вычислить, если воспользоваться уравнением движения носителей заряда

$$\frac{\partial p_x}{\partial t} = \frac{eB}{c} (v_y \cos \vartheta - v_z \sin \varphi \sin \vartheta), \quad (46)$$

$$\frac{\partial p_y}{\partial t} = \frac{eB}{c} (v_z \cos \varphi \sin \vartheta - v_x \cos \vartheta), \quad (47)$$

откуда следует

$$v_x = v_z \cos \varphi \operatorname{tg} \vartheta - \frac{c}{eB \cos \vartheta} \frac{\partial p_y}{\partial t}, \quad (48)$$

$$v_y = v_z \sin \varphi \operatorname{tg} \vartheta + \frac{c}{eB \cos \vartheta} \frac{\partial p_x}{\partial t}. \quad (49)$$

Поскольку дрейф носителей заряда на листах 1 и 3 ПФ имеет противоположные направления, так же как и на листах 2 и 4 ПФ, при подстановке формул (48) и (49) в выражение (43) для σ'_{ij} получим следующее асимптотическое выражение для термоэлектрического поля в достаточно сильном магнитном поле, когда $\max\{\gamma, \gamma_1\} \ll \min\{w, w'\}$:

$$E_z = \frac{\pi^2 T}{3e} \frac{\tau}{\tau_\eta} \frac{\partial \sigma_{zz}(\mu)}{\sigma_{zz} \partial \mu} \times \left(\frac{\partial T}{\partial z} + \cos \varphi \operatorname{tg} \vartheta \frac{\partial T}{\partial x} + \sin \varphi \operatorname{tg} \vartheta \frac{\partial T}{\partial y} \right). \quad (50)$$

При $\operatorname{tg} \vartheta \gg 1$ скорость v_z движения электрона вдоль нормали к слоям часто меняет знак и основной вклад в ее среднее значение за период в магнитном поле \bar{v}_z вносят небольшие окрестности вблизи точек поворота электрона, где

$$\frac{dp_z}{dt} = \frac{eB}{c} \sin \theta (v_x \sin \varphi - v_y \cos \varphi) = 0. \quad (51)$$

Несложные вычисления с использованием метода стационарной фазы приводят к следующему асимптотическому выражению при $\operatorname{tg} \vartheta \gg 1$ для скорости дрейфа электронов проводимости между двумя актами магнитного пробоя:

$$\check{v}_{zk} = - \sum_{n=1}^{\infty} \varepsilon_{nk}(t_1, p_B) \left| \frac{2\pi a n}{p'_{zk}(t_1) \hbar} \right|^{1/2} \times \left[T_k^{-1} \sin \left[\frac{a n}{\hbar} p_{zk}^{min} + \frac{\pi}{4} \right] - \sum_{n=1}^{\infty} \varepsilon_{nk}(t_2, p_B) \left| \frac{2\pi a n}{p'_{zk}(t_2) \hbar} \right|^{1/2} \times T_k^{-1} \sin \left[\frac{a n}{\hbar} p_{zk}^{max} - \frac{\pi}{4} \right] \right], \quad (52)$$

где $p''_{zk}(t)$ — вторая производная по t в точках стационарной фазы, где $p_{zk}(t)$ равно при $t = t_1$ своему минимальному значению p_{zk}^{min} , а при $t = t_2$ — максимальному p_{zk}^{max} на k -м листе ПФ, $k = 1, 2, 3, 4$, а

$$\begin{aligned} p''_{zk}(t_1) &= - [p''_{xk}(t_1) \cos \varphi + p''_{yk}(t_1) \sin \varphi] \operatorname{tg} \vartheta, \\ p''_{zk}(t_2) &= - [p''_{xk}(t_2) \cos \varphi + p''_{yk}(t_2) \sin \varphi] \operatorname{tg} \vartheta. \end{aligned} \quad (53)$$

Все остальные носители заряда на электронной траектории вносят в \check{v}_{zk} лишь малые поправки, пропорциональные $(\operatorname{tg} \vartheta)^{-1/2}$.

Расстояние между точками стационарной фазы ($p_{zk}^{max} - p_{zk}^{min}$) пропорционально $\operatorname{tg} \vartheta$, и скорость дрейфа носителей заряда по сильно вытянутой траектории в импульсном пространстве периодически изменяется как функция $\operatorname{tg} \vartheta$, а период этих осцилляций содержит важную информацию об электронном энергетическом спектре носителей заряда. С ростом угла ϑ убывает скорость дрейфа электронов вдоль нормали к слоям, что приводит к уменьшению межслоевой электропроводности σ_{zz} обратно пропорциональной $\operatorname{tg} \vartheta$, а дифференцирование по μ быстро осциллирующей компоненты σ_{zz} приводит к умножению ее на $\operatorname{tg} \vartheta$.

В результате амплитуда угловых осцилляций даже продольного термоэлектрического поля значительно превышает амплитуду осцилляций электропроводности, вычисленных в работе [23] в магнитном поле, расположенном в плоскости xz . При этом поле Нернста – Эттинсхаузена испытывает гигантские осцилляции с изменением $\operatorname{tg} \vartheta$, часто меняя свое направление.

Суммарная скорость дрейфа носителей заряда на квазиплоских листах ($\check{v}_{z1} + \check{v}_{z3}$) и цилиндрической полости ПФ ($\check{v}_{z2} + \check{v}_{z4}$) имеет вид

$$\begin{aligned} \check{v}_{z1} + \check{v}_{z3} &= 2 \sum_{n=1}^{\infty} \sin \frac{an(p_{z1}^{min} + p_{z3}^{max})}{2\hbar} \times \\ &\times \left[a_{n1} \cos \left(\frac{an}{2\hbar} (p_{z1}^{min} - p_{z3}^{max}) + \frac{\pi}{4} \right) + \right. \\ &\left. + a_{n2} \cos \left(\frac{an}{\hbar} (p_{z1}^{max} - p_{z3}^{min}) - \frac{\pi}{4} \right) \right], \end{aligned} \quad (54)$$

$$\begin{aligned} \check{v}_{z2} + \check{v}_{z4} &= \sum_{n=1}^{\infty} \left[b_{n1} \sin \left(\frac{an}{\hbar} p_{xc}^{min} + \frac{\pi}{4} \right) + \right. \\ &\left. + b_{n2} \sin \left(\frac{an}{\hbar} p_{xc}^{max} - \frac{\pi}{4} \right) \right], \end{aligned} \quad (55)$$

где p_{zc}^{max} и p_{zc}^{min} — экстремальные значения проекции импульса на замкнутом сечении цилиндрической части ПФ, а

$$a_{n1} = -\frac{an}{\hbar T_1} \{ \varepsilon_n(p_{x1}(t_1, p_B), p_{y1}(t_1, p_B)) \times \left| \frac{2\pi\hbar}{ap''_{z1}(t_1)} \right|^{1/2}, \quad (56)$$

$$a_{n2} = -\frac{an}{\hbar T_1} \{ \varepsilon_n(p_{x1}(t_2, p_B), p_{y1}(t_2, p_B)) \times \left| \frac{2\pi\hbar}{ap''_{z1}(t_2)} \right|^{1/2}, \quad (57)$$

$$b_{n1} = -\frac{an}{\hbar T_1} \{ \varepsilon_n(p_{x2}(t_1, p_B), p_{y2}(t_1, p_B)) \times \left| \frac{2\pi\hbar}{ap''_{z2}(t_1)} \right|^{1/2}, \quad (58)$$

$$b_{n2} = -\frac{an}{\hbar T_1} \{ \varepsilon_n(p_{x2}(t_2, p_B), p_{y2}(t_2, p_B)) \times \left| \frac{2\pi\hbar}{ap''_{z2}(t_2)} \right|^{1/2}. \quad (59)$$

Воспользовавшись формулами (54) и (55), легко вычислить компоненту тензора $\sigma'_{zz}(\mu)$:

$$\begin{aligned} \sigma'_{zz}(\mu) &= \frac{\pi e^2 \tau_\varepsilon}{a(2\pi\hbar)^2(m_1 + m_2)} \times \\ &\times \left\{ \sum_{n=1}^{\infty} m_2^2 \left[b_{n1}^2 + b_{n2}^2 + 2b_{n1}b_{n2} \sin \frac{a(p_{zc}^{max} - p_{zc}^{min})}{\hbar} \right] + \right. \\ &+ \sum_{n=1}^{\infty} 2m_1^2 \left[a_{n1}^2 \sin \frac{a(p_{z3}^{max} - p_{z1}^{min})}{\hbar} - \right. \\ &\left. - a_{n2}^2 \sin \frac{a(p_{z3}^{min} - p_{z1}^{max})}{\hbar} + \right. \\ &\left. + 2a_{n1}a_{n2} \cos \frac{a(p_{z3}^{max} - p_{z1}^{max})}{\hbar} \right] + \\ &+ \sum_{n=1}^{\infty} 2m_1^2 \left[a_{n1}^2 + a_{n2}^2 + 2a_{n1}a_{n2} \sin \frac{a(p_{z1}^{max} - p_{z1}^{min})}{\hbar} \right] + \\ &+ \sum_{n=1}^{\infty} m_1 m_2 (b_{n1} + b_{n2}) \left[a_{n1} \left(\cos \frac{an}{\hbar} (p_{z3}^{max} - p_{zc}^{min}) - \right. \right. \\ &\left. - \sin \frac{an}{\hbar} (p_{z1}^{min} - p_{zc}^{max}) \right) + a_{n2} \left(\cos \frac{an}{\hbar} (p_{z3}^{min} - p_{zc}^{min}) + \right. \\ &\left. \left. + \sin \frac{an}{\hbar} (p_{z1}^{max} - p_{zc}^{min}) \right) \right]. \end{aligned} \quad (60)$$

Здесь m_1, m_2 — циклотронные эффективные массы носителей заряда на квазиплоских и цилиндрических листах ПФ.

Следует иметь в виду, что приведенные выше формулы справедливы при небольшом отклонении магнитного поля от плоскости xz на угол φ , когда еще есть точки стационарной фазы на траектории

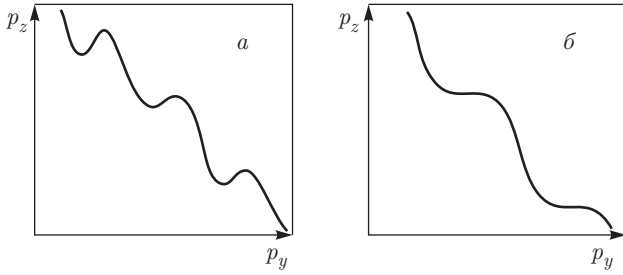


Рис. 3. Проекция на плоскость $p_y p_z$ электронных траекторий в магнитном поле при $\varphi < \varphi_0$ (а) и при $\varphi = \varphi_0$ (б)

электронов, движущихся по квазиплоским участкам ПФ. С ростом φ точки стационарной фазы на каждом квазиплоском листе ПФ постепенно приближаются друг к другу (см. рис. 3), а при $\varphi_0 = \arctg(v_y(t)/v_x(t))^{max} \leq \arctg(v_F/v_x^{min})_0$ происходит их слияние в точке $t = t_0$, где $p_z''(t_0) = p_z'(t_0) = 0$. В этом случае отсутствуют магнитопробойные угловые осцилляции, в которых принимают участие носители заряда во время их движения по плоским листам ПФ, а обычные угловые осцилляции электропроводности поперек слоев при $\text{tg } \vartheta \gg 1$ содержатся лишь в первом слагаемом в формуле (60). Период обычных угловых осцилляций, за которые ответственны только электроны на цилиндрической части ПФ, содержит информацию об экстремальном диаметре цилиндра вдоль оси, отклоненной на угол φ от оси p_x , а амплитуда этих осцилляций имеет примерно такой же вид, как и в отсутствие магнитного пробоя, однако уменьшенный в $2(m_1 + m_2)/m_2$ раз.

Наиболее информативны магнитопробойные осцилляции кинетических коэффициентов все же при $\varphi = 0$. Например, вклад в магнитопробойные осцилляции кинетических коэффициентов электронов проводимости, туннелирующих между цилиндрическим и плоскими листами ПФ (последнее слагаемое в формуле (60)),

$$\delta\sigma'_{zz}(\mu) = \frac{\pi e^2 \tau_\varepsilon}{a(2\pi\hbar)^2(m_1+m_2)} \sum_{n=1}^{\infty} m_1 m_2 (b_{n1} + b_{n2}) \times [a_{n1}(\cos \alpha_n(\Delta_p + \delta p_x) + \sin \alpha_n(\Delta_p + \delta p_x + D_p)) + a_{n2}(\cos \alpha_n(\Delta_p + D_p) - \sin \alpha_n \Delta_p)], \quad (61)$$

содержит важную информацию о гофрировке δp_x квазиплоских листов ПФ и минимальном расстоянии Δ_p между ними и слабогофрированным цилиндром. Здесь $\alpha_n = (an/\hbar) \text{tg } \vartheta$, а D_p — диаметр цилиндра вдоль оси p_x . При дифференцировании $\sigma'_{zz}(\mu)$ по μ нет необходимости удерживать производные по μ плавно зависящих от μ функций и достаточно огра-

ничиться дифференцированием лишь тригонометрических функций в формулах (60) и (61), аргументы которых пропорциональны $\text{tg } \vartheta \gg 1$. В результате осцилляции термоэлектрического коэффициента α_{zz} носят гигантский характер при $\text{tg } \vartheta \gg 1$:

$$\delta\alpha_{zz} = \frac{\pi^2}{3e} T \frac{d\delta\sigma'_{zz}(\mu)}{d\mu} = \frac{\pi^2 e \tau_\varepsilon T}{a(2\pi\hbar)^2(m_1 + m_2)\varepsilon_F} \times \sum_{n=1}^{\infty} m_1 m_2 (b_{n1} + b_{n2}) \text{tg } \vartheta \times [\beta_{n1} \cos \alpha_n(\Delta_p + \delta p_x + D_p) - \beta_{n3} \cos \alpha_n \Delta_p - \beta_{n2} \sin \alpha_n(\Delta_p + D_p) - \beta_{n4} \sin \alpha_n(\Delta_p + \delta p_x)], \quad (62)$$

где β_{n1} и β_{n4} с точностью до численного множителя порядка единицы равны $n\alpha_{n1}$, а β_{n1} и β_{n4} равны $n\alpha_{n2}$.

Обнаружение магнитопробойных угловых осцилляций термоэлектрического поля служит прямым подтверждением реализации электронного топологического перехода Лифшица. К этой проблеме не ослабевает интерес и по сей день (см., например, [24–32]).

В настоящее время термоэлектрические явления в низкоразмерных проводниках под давлением активно исследуются во многих лабораториях. Особое внимание уделено органическим комплексам переноса заряда на основе тетрагидрофульвалена.

Мы старались сделать наше исследование полезным и вполне доступным для использования экспериментаторами. Поэтому в качестве примера был рассмотрен случай многолистной ПФ, присущей большому комплексу органических проводников семейства солей тетрагидрофульвалена $(\text{BEDT-TTF})_2\text{MHg}(\text{SCN})_4$, где $M = \text{K, Rb, Tl}$, причем есть основания полагать, что квазиплоские листы слабо гофрированы также и вдоль оси p_y и энергетический спектр носителей заряда на этих листах ПФ квазиодномерен [33].

Мы ограничились квазиклассическим описанием кинетических явлений в условиях так называемого некогерентного магнитного пробоя по классификации Слуцкого [34, 35], когда температурное размытие квантованных уровней энергии электронов в магнитном поле $2\pi^2 T$ значительно больше расстояния между ними $\hbar\omega_c$ и сложный характер квантовых осцилляций кинетических коэффициентов не мешает наблюдению классических угловых осцилляций магнитосопротивления и термоэлектрических коэффициентов. В этом случае можно не учитывать волновые свойства электрона, который одновременно в момент магнитного пробоя находится на обоих участках магнитопробойной траекто-

рии, и ограничиться статистически вероятностным описанием динамики движения электронов по магнитопробойным траекториям.

ЛИТЕРАТУРА

1. L. van Hove, Phys. Rev. **89**, 1189 (1953).
2. И. М. Лифшиц, ЖЭТФ **38**, 1569 (1960).
3. М. А. Кривоглаз, Тю Хао, ФММ **21**, 817 (1966).
4. В. Г. Вакс, А. В. Трефилов, С. В. Фомичев, ЖЭТФ **80**, 1617 (1981).
5. А. А. Варламов, А. В. Панцулая, ЖЭТФ **89**, 2188 (1985).
6. А. А. Абрикосов, А. В. Панцулая, ФТТ **28**, 2140 (1986).
7. G. P. Mikitik and Yu. V. Sharlai, Phys. Rev. B **90**, 155122 (2014).
8. Н. Б. Брандт, Н. И. Гинзбург, Т. А. Игнатьева, ЖЭТФ **49**, 85 (1965).
9. Е. С. Ицкевич, А. Н. Вороновский, Письма в ЖЭТФ **4**, 220 (1966).
10. W. Chu et al., Phys. Rev. **131**, 214 (1970).
11. T. F. Smith, J. Low Temp. Phys. **11**, 584 (1973).
12. Ю. П. Гайдуков, Н. П. Данилова, М. Б. Щербина-Самойлова, Письма в ЖЭТФ **25**, 509 (1977).
13. Ю. П. Гайдуков, Н. П. Данилова, М. Б. Щербина-Самойлова, ФНТ **4**, 250 (1978).
14. Ю. П. Гайдуков, Н. П. Данилова, М. Б. Щербина-Самойлова, ЖЭТФ **77**, 2125 (1979).
15. D. R. Overcash et al., Phys. Rev. Lett. **46**, 287 (1981).
16. В. С. Егоров, А. Н. Федоров, ЖЭТФ **85**, 1647 (1983).
17. В. С. Егоров, С. Р. Варюхин, Письма в ЖЭТФ **39**, 510 (1984).
18. С. Л. Будько, А. Н. Вороновский, А. Г. Гапонченко, Е. С. Ицкевич, ЖЭТФ **86**, 778 (1984).
19. Н. В. Заварицкий, В. И. Макаров, А. А. Юргенс, Письма в ЖЭТФ **39**, 510 (1984).
20. А. Н. Великодный, Н. В. Заварицкий, Т. А. Игнатьева, А. А. Юргенс, Письма в ЖЭТФ **43**, 597 (1986).
21. С. Л. Будько, А. Г. Гапонченко, Е. С. Ицкевич, Письма в ЖЭТФ **47**, 106 (1988).
22. Н. В. Заварицкий, *Исследование электронного топологического перехода — фазового перехода $2\frac{1}{2}$ рода*, Приложение к книге «Избранные труды И. М. Лифшица, *Электронная теория металлов. Полимеры и биополимеры*», Наука, Москва (1994), с. 432.
23. В. Г. Песчанский, Д. И. Степаненко, ЖЭТФ **41**, 691 (2016).
24. P. A. Goddard, S. J. Blundell, J. Singleton et al., Phys. Rev. B **69**, 174509 (2004).
25. M. V. Kartsovnik, G. Andres, S. V. Simonov, W. Biberacher, I. Sheikin, N. D. Kusch, and H. Muller, Phys. Rev. Lett. **96**, 16601 (2006).
26. A. F. Bangura, P. A. Goddard, J. Singleton et al., Phys. Rev. B **76**, 052510 (2007).
27. T. Helm, M. V. Kartsovnik, I. Sheikin et al., Phys. Rev. Lett. **105**, 247002 (2010).
28. M. V. Kartsovnik, T. Helm, C. Putze et al., New J. Phys. **13**, 015001 (2011).
29. J. Eun and S. Chakravarty, Phys. Rev. B **84**, 094506 (2011).
30. T. Helm, M. V. Kartsovnik, C. Proust et al., Phys. Rev. B **92**, 094501 (2015).
31. А. А. Nikolaeva, L. A. Konopko, T. E. Huber, A. K. Kobylanskaya, and G. I. Parai, *Thermoelectricity*, № 4, 1607 (2015).
32. А. А. Nikolaeva, L. A. Konopko, A. V. Tsurkan, and E. F. Moloshnik, J. Surf. Eng. Appl. Electrochem. **52**, 2016 (2016).
33. R. Rousseau, M. L. Doulet, E. Canadell, R. P. Shibaeva, S. S. Khasanov, L. P. Rosenberg, N. D. Kusch, and E. B. Yagubskii, J. Phys. 1 **6**, 1527 (1996).
34. А. А. Слуцкий, ЖЭТФ **58**, 1008 (1970).
35. А. А. Слуцкий, *Динамика электронов проводимости в кинетических явлениях в металлах в условиях магнитного пробоя*, Докторская диссертация, ФТИНТ АН УССР (1980).